

# Oküler Hipertansiyon Hastalarında Santral Kornea Kalınlığı ve Retina Sinir Lifi Tabakası Kalınlığı Arasındaki Korelasyonun İncelenmesi

## *Assessment of the Correlation Between Central Corneal Thickness and Retinal Nerve Fiber Layer Thickness in Ocular Hypertensive Patients*

Banu Arslan, Ersin Oba, Gökhan Gülkilik, Hüseyin Fındık

S.B. Şişli Etfal Eğitim ve Araştırma Hastanesi, 2. Göz Kliniği, İstanbul, Türkiye

### Özet

**Amaç:** Oküler hipertansiyon hastalarında santral kornea kalınlığı (SKK) ve retina sinir lifi tabakası (RSLT) kalınlığı arasındaki ilişkinin incelenip normal olgularla karşılaştırılması.

**Gereç ve Yöntem:** Ağustos 2008-Nisan 2009 tarihleri arasında oküler hipertansiyonlu 32 hastanın 56 gözü, ve göz içi basınçları  $\leq 22$  mmHg olan 22 kişinin 43 gözü çalışma kapsamına alındı. Tüm kişilerin rutin oftalmolojik muayeneleri sonrası ultrasonik pakimetriyle SKK ve optik koherens tomografi (OCT) yöntemiyle RSLT kalınlıkları ölçüldü. Her iki grup kendi içerisinde "santral kornea kalınlığı 555  $\mu\text{m}$  ve altında olanlar" ( $\text{SKK} \leq 555 \mu\text{m}$ ) ve "santral kornea kalınlığı 588  $\mu\text{m}$  üstünde olanlar" ( $\text{SKK} > 588 \mu\text{m}$ ) şeklinde 2 alt gruba ayrıldı. Bütün gözler için RSLT kalınlıkları, mikron cinsinden ortalama kalınlık, superior ve inferior kadran sinir lifi tabakası kalınlıkları şeklinde saptandı.

**Sonuçlar:** Çalışma grubunun ortalama yaşı  $52,37 \pm 8,64$  yıldı. Çalışma ve kontrol grubu arasında yaş ve cinsiyet açısından anlamlı fark saptanmadı ( $p>0,05$ ). Oküler hipertansiyon (OHT) hastalarında ortalama  $\text{SKK } 577,98 \pm 32,32 \mu\text{m}$ , kontrol grubunda ise  $551,56 \pm 24,93 \mu\text{m}$  idi, ve aradaki fark istatistiksel olarak anlamlı oranda yüksekti ( $p<0,01$ ). Çalışma grubunda, ortalama RSLT kalınlığı, superior ve inferior kadran RSLT kalınlıkları anlamlı oranda daha inceydi ( $p<0,05$ ). Oküler hipertansiyonlu SKK 555  $\mu\text{m}$  ve altında olan hastaların ortalama RSLT kalınlığı, superior ve inferior RSLT kalınlıkları, 588  $\mu\text{m}$  üstünde olan oküler hipertansiyonlu hastalardan anlamlı oranda daha inceydi ( $p<0,05$ ).

**Tartışma:** SKK 555  $\mu\text{m}$  ve altında olan oküler hipertansiyon hastalarının RSLT kalınlığı, 588  $\mu\text{m}$  üstünde olan oküler hipertansiyon hastaları ve kontrol grubuna göre anlamlı ölçüde ince bulunmuştur. OCT teknigi ile ölçülen RSLT kalınlıkları, oküler hipertansiyonlu bireylerde erken glokomatoz hasarı saptamada önemli bir araç olarak gözükmemektedir. (TOD Dergisi 2010; 40: 151-5)

**Anahtar Kelimeler:** Oküler hipertansiyon, santral kornea kalınlığı, optik koherens tomografi, retina sinir lifi tabakası kalınlığı

### Summary

**Purpose:** To evaluate the relationship between central corneal thickness (CCT) and retinal nerve fiber layer (RNFL) thickness in patients with ocular hypertension (OHT) and to compare it with normal population.

**Material and Method:** 56 eyes of 32 patients with OHT, and 43 eyes of 22 subjects with intraocular pressure  $\leq 22$  mmHg participated in our study between August 2008 and April 2009. After full ophthalmologic examination, all patients underwent measurement of CCT by ultrasonic pachymetry and RNFL thickness by optical coherence tomography (OCT). Both groups were classified into "CCT  $\leq 555 \mu\text{m}$ " and "CCT  $> 588 \mu\text{m}$ " subgroups. RNFL thickness was measured in microns as average, superior and inferior quadrant thickness for all eyes.

**Results:** The mean age of the study group was  $52.37 \pm 8.64$  years. There was no statistical difference between the study and the control groups with respect to age and gender ( $p>0.05$ ). The CCT in patients with OHT was statistically higher than in the control group ( $577.98 \pm 32.32$  vs.  $551.56 \pm 24.93$ ;  $p<0.01$ ). In the study group, the average RNFL, the superior and inferior quadrant RNFLs were significantly thinner ( $p<0.05$ ). The average RNFL, superior and inferior RNFLs in OHT patients with CCT of 555  $\mu\text{m}$  or less were significantly thinner than in the OHT patients with CCT of more than 588  $\mu\text{m}$  ( $p<0.05$ ).

**Discussion:** The RNFLs of OHT patients with CCT of 555  $\mu\text{m}$  or less were significantly thinner in comparison with OHT patients with CCT of more than 588  $\mu\text{m}$  and normal patients. The RNFL thickness measured with OCT seems to be a valuable indicator for detecting the early glaucomatous damage in patients with OHT. (TOD Journal 2010; 40: 151-5)

**Key Words:** Ocular hypertension, central corneal thickness, optical coherence tomography, retinal nerve fiber layer thickness

## Giriş

Glokom, retina ganglion hücre ölümüne bağlı olarak gelişen ilerleyici optik sinir hasarı ve bununla ilişkili görme alanı kayipları ile karakterize kronik bir optik nöropatidir (1). Göz içi basıncı (GİB)'nın doğru ölçülmesi, glokom teşhisini, izlemi, ve tedavide esastır. GİB ölçümü, çeşitli faktörlerden etkilenebilir. Bunlardan bir tanesi de santral kornea kalınlığıdır (SKK). Ocular Hypertension Treatment Study (OHTS)'de, ince bir santral korneanın, oküler hipertansiyonlu (OHT) kişilerde glokom gelişimi için kuvvetli prediktif bir faktör olduğu bulunmuştur. Bu çalışmaya göre kornea kalınlığı 555  $\mu\text{m}$  ve altında olan kişilerde primer açık açılı glokom (PAAG) gelişme riskinin,  $>588 \mu\text{m}$  kalınlığı olanlara göre 3 kat daha fazla olduğu gösterilmiştir (2).

Glokoma bağlı hasarın erken saptanmasında ve takipinde kullanılmak üzere teknolojideki gelişim ile birlikte bilgisayarlı görme alanından sonra çeşitli cihazlar ve ölçümler geliştirilmiştir. Bunlardan klinikte en yaygın başvurulanı retina sinir lifi tabakası (RSLT) kalınlığı ölçümüdür.

Çalışmamızda, OHT'lu hastaların glokoma dönüşüm risk oranlarını da göz önünde bulundurarak, bu gruptaki hastaların RSLT kalınlıklarını ve glokom progresyonunda önemi ispatlanan SKK'ları ölçüp bu 2 değerli parametre arasındaki korelasyonu irdelemeyi amaçladık.

## Gereç ve Yöntem

Bu prospektif çalışma, Ağustos 2008-Nisan 2009 tarihleri arasında Şişli Etfal Eğitim ve Araştırma Hastanesi, 2. Göz Kliniği'nde toplam 54 olgunun 99 gözü ile yapıldı. GİB'ları Goldmann aplanasyon tonometresi ile  $>23 \text{ mmHg}$  ve  $<32 \text{ mmHg}$  ölçülen 32 hastanın 56 gözü çalışma grubu, ve göz içi basınçları  $\leq 22 \text{ mmHg}$  olan 22 kişinin 43 gözü kontrol grubu olarak çalışma kapsamına alındı. Çalışmaya dahil edilen tüm kişiler çalışma hakkında bilgilendirilip aydınlatılmış onam formu imzalatıldı. Çalışma Helsinki deklarasyonunda kabul edilen prensiplere uygun bir şekilde yürütüldü.

Çalışma ve kontrol grubundaki tüm bireylere en iyi düzeltilmiş görme keskinliği muayenesi, Goldmann aplanasyon tonometresi ile GİB ölçümü, yarıklı lamba biyomikroskopik muayenesi, gonyoskopı, ve 78D lens kullanılarak indirekt biyomikroskopik fundus muayenesini kapsayan oftalmolojik muayene yapıldı. GİB aynı kişi tarafından 3 kez tekrarlanarak ölçüldü ve bu 3 ölçümün ortalaması kaydedildi. Renkli stereoskopik optik disk fotoğrafları ve kırmızıdan yoksun ışık altında sinir lifi tabakası fotoğrafları, Kowa fundus kamera (Kowa Company, Japan) ile çekiliп kaydedildi. Her hastaya Humphrey bilgisayarlı görme alanı cihazı (Carl Zeiss Meditec, Dublin, CA) ile 30-2 tam eşik protokolü uygulanarak görme alanını incelemesi yapıldı.

Hastaların çalışmaya dahil olma kriterleri, her 2 gözde en iyi düzeltilmiş görme keskinliğinin 0,5 ve üzerinde olması, kırmızı kusurlarının sferik  $\pm 5,0 \text{ D}$ , silindirik  $\pm 3,0 \text{ D}$ 'nin altında olması, GİB'nin  $>23 \text{ mmHg}$  ve  $<32 \text{ mmHg}$  olması, gonyoskopide açının açık olması, normal görünümlü optik diskler olması (çukurluk/disk oranının  $<0,6$  olması, diffüz veya fokal nöroretinal rim incelmesi olmaması, disk kanaması olmaması, kırmızıdan yoksun fotoğraflarda sinir lifi tabakası defekt olmaması, optik atrofi veya tilted disk olmaması dikkate alındı) idi. Görme alanı parametreleri normal sınırlar içerisinde olmalı, mean deviasyon (MD) ve patern standard deviasyon (PSD) global indeksleri, %95 güvenilirlik sınırları içerisinde olmalı ve glokom yarı alan testi normal sınırlar içerisinde olmalı idi. Kontrol grubundaki normal olgularda GİB  $\leq 22 \text{ mmHg}$  olarak ölçümleri dışında aynı kriterler arandı.

Oküler bir rahatsızlık veya daha önce geçirilmiş göz cerrahisi öyküsü olanlar, muayene sırasında diyabetik retinopati, üveit, katarakt gibi herhangi bir oküler rahatsızlığı veya sekeli olanlar, GİB'ni etkileyebilecek bir ilaç kullanım hikayesi olanlar, bilgisayarlı görme alanı testini yapamayan hastalar çalışma kapsamına alınmadı.

Her 2 grup kendi içerisinde "santral kornea kalınlığı 555  $\mu\text{m}$  ve altında olanlar" (SKK  $\leq 555 \mu\text{m}$ ) ve "santral kornea kalınlığı 588  $\mu\text{m}$  üstünde olanlar" (SKK  $> 588 \mu\text{m}$ ) şeklinde 2 alt gruba ayrıldı.

Tüm optik koherens tomografi (OKT) çekimleri aynı göz hekimi tarafından, RTVue-100 Fourier-Domain Optical Coherence Tomography cihazının (Optovue Inc., Fremont, CA) RNFL 3,45 (Retinal Nerve Fiber Layer) protokolü ile gerçekleştirildi. OKT görüntülerinin net olmasına ve SSI değerinin yüksek tutulmasına özen gösterildi. Büttün gözler için hem ortalama sinir lifi tabakası kalınlıkları, hem de ortalama superior ve inferior kadran sinir lifi tabakası kalınlıkları  $\mu\text{m}$  olarak saptandı.

Tüm hastaların SKK'ları, yine aynı göz hekimi tarafından ultrasonik pakimetri Nidek UP-1000 (Nidek Co., Japan) ile ölçüldü. Ölçümler arası fark 10  $\mu\text{m}$ 'den az olaña kadar arka arkaya 3 ölçüm yapılp, bu 3 ölçümün ortalaması alınarak kaydedildi.

## İstatistiksel Analiz

Verilerin değerlendirilmesinde NCSS 2007&PASS 2008 Statistical Software (Utah, USA) programı kullanıldı. Tanımlayıcı istatistiksel metodların (ortalama, standart sapma) yanı sıra niceliksel verilerin karşılaştırılmasında ve normal dağılım gösteren parametrelerin gruplar arası karşılaştırmalarında Student-t test kullanıldı. Niteliksel verilerin karşılaştırılmasında Ki-Kare testi, parametreler arası ilişkilerin değerlendirilmesinde ise Pearson korelasyon analizi kullanıldı. Sonuçlar % 95'lik güven aralığında, anlamlılık  $p < 0,05$  düzeyinde değerlendirildi.

## Sonuçlar

Çalışma grubunda 56 (%56,56), kontrol grubunda ise 43 (%43,43) göz bulunmaktaydı. Çalışma grubundaki hastaların 28'i kadın (%87,5), 4'ü erkek (%22,7), kontrol grubundaki olguların 17'si kadın (%77,3), 5'i erkekti (%22,7). Olguların yaş ve cinsiyet dağılımları açısından, her 2 grup arasında istatistiksel olarak anlamlı fark yoktu ( $p>0,05$ ) (Tablo 1).

Grupların ortalama GİB ölçümleri karşılaştırıldığında, çalışma grubunda  $24,27\pm2,02$  mmHg, kontrol grubunda ise  $16,75\pm2,54$  mmHg değerleri bulundu; çalışma grubunun ortalama GİB, kontrol grubuna göre istatistiksel olarak anlamlı yükseldi ( $p<0,01$ ) (Tablo 2, Şekil 1).

Gruplara göre SKK ölçümleri, istatistiksel olarak anlamlı farklılık göstermekteydi ( $p<0,01$ ); çalışma grubunun ortalama SKK değeri  $577,98\pm32,32$   $\mu\text{m}$ , kontrol grubunun ise  $551,56\pm24,93$   $\mu\text{m}$  idi; çalışma grubunun ortalama SKK değeri anlamlı oranda yükseldi (Tablo 2, Şekil 2).

Çalışma grubunun ortalama RSLT kalınlığı  $89,82\pm12,99$   $\mu\text{m}$ , kontrol grubunun ise  $111,47\pm7,40$   $\mu\text{m}$  idi; çalışma grubunun ortalama RSLT kalınlığı, kontrol grubundan istatistiksel olarak anlamlı oranda daha düşüktü ( $p<0,05$ ). Her 2 grup arasında superior ve inferior

RSLT kalınlık ölçümleri de istatistiksel olarak anlamlı farklılık göstermekteydi ( $p<0,05$ ); çalışma grubunun RSLT superior ve inferior ortalaması kontrol grubundan daha düşüktü (Tablo 3, Şekil 3).

Her 2 grup kendi içerisinde “santral kornea kalınlığı  $555\ \mu\text{m}$  ve altında olanlar” ( $\text{SKK} \leq 555\ \mu\text{m}$ ) ve “santral kornea kalınlığı  $588\ \mu\text{m}$  üzerinde olanlar” ( $\text{SKK} > 588\ \mu\text{m}$ ) şeklinde 2 alt gruba ayrıldı.

Çalışma grubu içerisinde, ortalama RSLT kalınlığı, superior RSLT kalınlığı ve inferior RSLT kalınlığı ölçümleri,  $\text{SKK} \leq 555\ \mu\text{m}$  grubunda sırasıyla  $89,30\pm8,90\ \mu\text{m}$ ,  $91,13\pm9,62\ \mu\text{m}$  ve  $92,37\pm10,10\ \mu\text{m}$ ,  $\text{SKK} > 588\ \mu\text{m}$  grubunda ise sırasıyla  $107,52\pm9,97\ \mu\text{m}$ ,  $115,71\pm14,73\ \mu\text{m}$  ve  $125,01\pm18,63\ \mu\text{m}$  ölçüldü;  $\text{SKK} \leq 555\ \mu\text{m}$  grubunda değerlerin, istatistiksel olarak daha düşük olduğu saptandı ( $p<0,05$ ) (Tablo 4).

Çalışma grubunda SKK ile RSLT kalınlığı arasında, ortalama sinir lifi kalınlığı değeri, superior ve inferior kadran kalınlık değerleri için pozitif yönde istatistiksel olarak anlamlı bir ilişki saptandı ( $p<0,05$ ) (Tablo 5).

Kontrol grubunda SKK ile RSLT kalınlığı arasında ise ortalama sinir lifi kalınlığı değeri, superior kadran ve inferior kadran kalınlık değerleri için istatistiksel olarak anlamlı bir ilişki bulunamadı ( $p>0,05$ ) (Tablo 5).

**Tablo 1.** Gruplara göre tanımlayıcı özelliklerin değerlendirilmesi

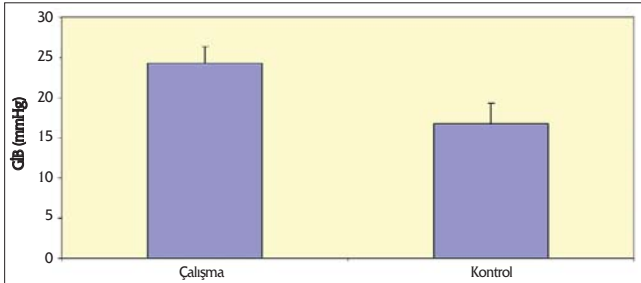
	<b>Çalışma (n=32)</b> Ort±SD	<b>Kontrol (n=22)</b> Ort±SD	<b>p değeri</b>
Yaş	52,37±8,64	49,23±8,987	0,201
Cinsiyet	n (%)	n (%)	
Kadın	28 (%87,5)	17 (%77,3)	0,322
Erkek	4 (%12,5)	5 (%22,7)	

Ort: Ortalama, SD: Standart sapma

**Tablo 2.** Grupların GİB ve SKK ölçümelerinin değerlendirilmesi

	<b>Çalışma Ort±SD</b>	<b>Kontrol Ort±SD</b>	<b>p</b>
GİB	$24,27\pm2,02$	$16,75\pm2,54$	$0,001^{**}$
SKK	$577,98\pm32,32$	$551,56\pm24,93$	$0,001^{**}$

GİB: Göz içi basıncı, SKK: Santral kornea kalınlığı, Ort: Ortalama, SD: Standart sapma



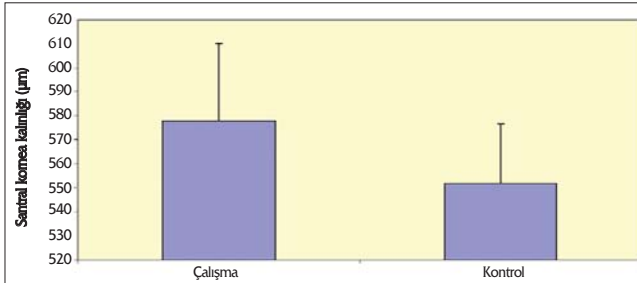
**Şekil 1.** GİB ölçümelerinin gruplara göre dağılımı

GİB: Göz içi basıncı

**Tablo 3.** Grupların RSLT ölçümelerinin değerlendirilmesi

	<b>Çalışma (n=56)</b> Ort±SD	<b>Kontrol (n=43)</b> Ort±SD	<b>p</b>
RSLT ortalama	$89,82\pm12,99$	$111,47\pm7,40$	$0,043^*$
RSLT superior	$109,71\pm11,72$	$118,09\pm9,59$	$0,048^*$
RSLT inferior	$113,81\pm10,70$	$122,32\pm10,72$	$0,046^*$

RSLT: Retina sinir lifi tabakası, Ort: Ortalama, SD: Standart sapma



**Şekil 2.** SKK ölçümelerinin gruplara göre dağılımı

SKK: Santral kornea kalınlığı

## Tartışma

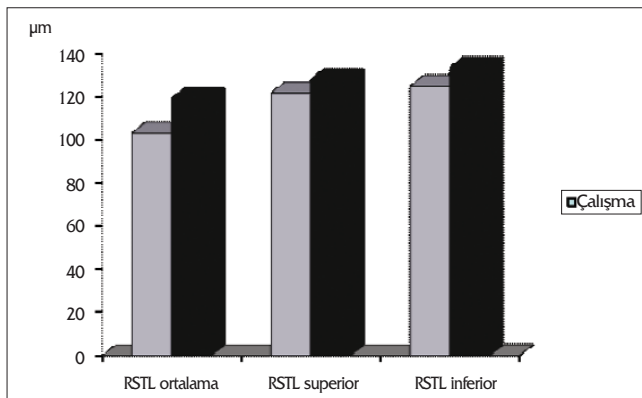
Glokom, karakteristik görme alanı kaybı ile sonuçlanan retina ganglion hücre ölümüne bağlı bir optik nöropatidir. Optik sinir başı değişiklikleri ve sinir lifi tabakası defektlerinin, görme alanı kayıplarından aylar, hatta yıllar önce geliştiği gösterilmiştir (3). Bu amaçla, glokomun erken teşhis ve tedavisi güncel yaklaşımında önem kazanmış, literatürde preperimetrik glokom, OHT gibi terimler belirmiştir (4). Buna yönelik görüntüleme yöntemleri geliştirilmiş, özellikle optik sinir başı ve retina sinir lifi tabakası görüntülenmesi, ve kantitatif analizleri için, Heidelberg Retina Tomografisi, OKT ve Tarayıcı Laser Polarimetri gibi cihazlar geliştirilmiştir.

PAAAG teşhis, yüksek GlB, görme alanı kaybı ve optik nöropati kombinasyonu varlığı ile konulmaktadır. Görme alanı kaybı ve belirgin optik sinir hasarı olmayan, göz içi basıncı 22 mmHg'nın üzerinde olan durumlarda "oküler hi-

pertansiyon" teriminden bahsedilmektedir. Fakat bu terimin tanımında, SKK göz önünde bulundurulmamıştır. Biz de çalışmamızda, SKK'dan bağımsız olarak  $>23$  mmHg ölçülen GlB değerlerini çalışma grubumuza aldık, ve her 2 grupta SKK'na bakıldığında, çalışma grubunda istatistiksel olarak anlamlı bir yükseklik tespit ettik. Bron ve ark. yaptıkları çalışmada oküler hipertansiyonu olan hastalarda, glokomlu, glokomu olmayan diyabetik, ve normal kişilere göre SKK'ni anlamlı oranda yüksek bulmuşlardır (5). Yıldırım ve ark. da oküler hipertansiyonlu hastalarda SKK'ni, PAAG, normotansif glokom, ve kontrol grupları ile karşılaştırıldıklarında anlamlı ölçüde yüksek bulmuşlar, ayrıca SKK ile GlB değerleri arasında istatistiksel olarak anlamlı pozitif bir korelasyon saptamışlardır (6). Yine ülkemizden Şen ve ark. SKK değerlerini OHT'lu kişilerde, kontrol grubu ve glokomu olan gruplara kıyasla anlamlı oranda yüksek saptamışlardır (7). Bu, ölçülen yüksek GlB'nin, SKK'dan etkilendiğini göstermektedir.

OKT, optik disk etrafında çeşitli lokalizasyonlarda peripapiller RSLT kalınlığını ölçmektedir, fakat glokomu ayırt etmek için en değerli ölçüm değerlerinin ortalama RSLT kalınlığı, inferior kadran RSLT kalınlığı ve superior kadran RSLT kalınlığı olduğu çalışmalarla gösterilmiştir (8,9). Biz de buna dayanarak RSLT ölçümümüzü bu kadranlarda gerçekleştirdik. Biz çalışmamızda, oküler hipertansiyonlu kişilerde RSLT kalınlığını, superior ve inferior kadranlarda ve ortalama değerde istatistiksel olarak anlamlı oranda ince bulduk. Henderson ve ark. yaptığı çalışmada, oküler hipertansiyonlu ve ince kornealı kişilerde anlamlı oranda RSLT incelmesi saptamışlardır (10). Uğurbaş ve ark. RSLT ölçümleri için tarayıcı lazer polarimetre kullanmışlar, OHT'lu gözler, kontrol grubu ve glokomlu gözler arasında RSLT kalınlıkları açısından anlamlı farklar saptamışlar, ayrıca OHT'lu gözlerde superior kadran, kalın ve ince kornealı gözler arasında istatistiksel olarak anlamlı fark saptamışlardır (11). Aynı zamanda Kaushik ve ark. yaptıkları çalışmada, santral kornea kalınlığı 555  $\mu$ m altında olan OHT'lu bireylerde, 555  $\mu$ m üzerindeki bireylere göre anlamlı ölçüde RSLT incelmesi saptamışlardır (12). Ülkemizden Üstündağ ve ark.ının yaptığı çalışmada da glokomlu gözlerde ve OHT'lu gözlerde RSLT kalınlıkları incelimiş olarak tespit edilmiştir (13). Ocular Hypertension Treatment Study (OHTS)'de de kornea kalınlığı  $\leq 555$   $\mu$ m olan kişilerde PAAG gelişme riskinin,  $>588$   $\mu$ m kornea kalınlığı olanlara göre 3 kat daha fazla olduğu gösterilmiştir (2). Bizim çalışmamızda da SKK  $\leq 555$   $\mu$ m grubunda RSLT kalınlığı, tüm parametrelerde SKK  $>588$   $\mu$ m grubuna göre istatistiksel olarak anlamlı oranda ince bulunmuştur.

Çalışma grubu ve kontrol grubunda SKK ve RSLT kalınlığı ilişkisine bakıldığında, iki parametre arasında çalışma grubunda istatistiksel olarak anlamlı bir ilişki saptanmıştır. Mumcuoğlu ve ark. tarayıcı laser polarimetri (GDx-VCC), konfokal tarayıcı laser oftalmoskop (HRT II), ve OKT ile ölçülen RSLT kalınlığı ile SKK arasındaki ilişkiyi inceledikleri çalışmalarında ise, sağlıklı gözlerde SKK ile RSLT kalınlığı arasında istatistiksel olarak anlamlı bir ilişki olmadığını bulmuşlardır (14). Lester ve ark. da yap-



**Şekil 3.** Gruplara göre RSLT ölçümü dağılımı

RSLT: Retina sinir lifi tabakası

**Tablo 4.** Çalışma grubu olgularında SKK sınıflamasına göre RSLT ölçümleri değerlendirilmesi

Çalışma Grubu	$\leq 555 \mu$ Ort±SD (n=17)	$>588 \mu$ Ort±SD (n=24)	p
RSLT ortalama	89,30±8,90	107,52±9,97	0,032*
RSLT superior	91,13±9,62	115,71±14,73	0,044*
RSLT inferior	92,37±10,10	125,01±18,63	0,029*

SKK: Santral kornea kalınlığı, RSLT: Retina sinir lifi tabakası, Ort: Ortalama, SD: Standart sapma

**Tablo 5.** Çalışma grubu ve kontrol grubunda SKK ile RSLT ilişkisi

		SKK	
		r	p
Çalışma Grubu	RSLT ortalama	0,412	0,03*
	RSLT superior	0,380	0,04*
	RSLT inferior	0,484	<0,01**
Kontrol Grubu	RSLT ortalama	0,228	0,312
	RSLT superior	0,147	0,359
	RSLT inferior	0,188	0,298

Santral kornea kalınlığı, RSLT: Retina sinir lifi tabakası

tikları çalışmada, RSLT kalınlığı ile SKK arasında anlamlı bir korelasyon olmadığını göstermişlerdir (15). Biz de çalışmamızda  $GIB \leq 22$  mmHg olan kişilerde RSLT kalınlığı ile SKK arasındaki ilişkinin anlamlı olmadığını bulduk.

Çalışmamızın verilerine göre SKK  $\leq 555$   $\mu m$  olan OHT'lu kişiler, yüksek  $GIB$  ve ince RSLT kalınlığı varlığında, daha erken glokomatöz hasara sahip olacak gibi gözükmekeştirler. Bu, aynı zamanda bir OHT bulgusu olan, SKK'ı  $555 \mu m$  altındaki OHT'lu bir kişinin 3 kat daha fazla glokoma dönüşme riski olması ile uyumludur.

Medeiros ve ark. yaptıkları çalışmada, ince kornealı OHT'lu kişilerde, kısa dalga otomatik perimetri ve Frekans Doubling perimetri ile erken fonksiyonel hasar tespit etmişlerdir (16). Bu hastalar olasılıkla konvansiyonel yöntemlerle tespit edilemeyen erken glokomatöz yapısal hasara zaten sahiptirler.

Kornea kalınlığının normalden yüksek olması, Goldmann aplanasyon tonometresi ile yanlış yüksek ölçümlere sebep olmaktadır. Böylece, OHT'lu dediğimiz kişiler, aslında normal  $GIB$  değerlerine sahiptirler ve OHT'na sahipmiş gibi yanlış sınıflandırılmaktadır. Çalışma grubundaki  $SKK > 588 \mu m$  olan gözlerle kontrol grubundaki gözlerin RSLT kalınlıkları arasında anlamlı fark olmaması, bu görüşü desteklemektedir. Tersine, ince kornealı OHT hastalarında da  $GIB$  yanlış düşük ölçülmektedir. Bu hastaların da glokom gelişimi açısından risk altında olduğu söylemektedir.

Sommer ve ark., OHT'lu kişilerin %60'ında, görme alanı kaybı olmadan 6 yıl önce RSLT kayıplarını saptayabilmişlerdir (3). Bu bulgu, bizim çalışmamızdaki OHT'lu hastalarda anlamlı olarak saptanan RSLT kalınlığı incelmesi bulgusuyla örtüşmektedir. Böylece, RSLT kalınlığı durumu saptanarak, OHT'dan glokoma dönüşme riskinin saptanabilmesi mümkün olabilir. SKK, ileri yaş, yüksek  $GIB$ , artmış dikey çukurluk/disk oranı ve görme alanı kayipları gibi diğer risk faktörleri de göz önüne alınarak OHT'dan glokoma gidiş riski saptanabilir.

Çalışmamızda görme alanı testi olarak 30-2 Humphrey standart bilgisayarlı görme alanı testi kullandık. Bunun yerine kısa dalga boylu otomatik perimetri kullanılması görme alanı kayiplarının daha erken saptanmasını ve bu hastalarda SKK ve RSLT kalınlık analizlerini daha ayrıntılı bir şekilde incelenmesini sağlayabilir.

Sonuçta SKK  $\leq 555 \mu m$  olan OHT'lu hastaların OKT ile ölçülen RSLT kalınlıklarının, SKK  $> 588 \mu m$  olan OHT hastaları ve normal bireylere göre anlamlı ölçüde daha ince olduğu saptanmıştır. Bu hastalardaki glokom gelişme riski gözünden bulundurulup, yakın izlem veya tedaviye başlama kararı için diğer risk faktörleri ile birlikte ayrıntılı olarak değerlendirilmelidir. Eskiden sadece  $GIB$  ölçümü ile yapılan taramalara SKK ölçümü de eklenip, buna göre düzeltilmiş  $GIB$ 'ı yüksek, ve diğer risk faktörlerini taşıyan bireylerde hızlı ve non-invazif bir yöntem olan OKT ile RSLT kalınlığı ölçümü yapılarak glokom gelişme riski taşıyan hastalar saptanabilir. Erken teşhis ve tedavinin esas olduğu glokoma bağlı görme kayiplarına sebep olacak değişiklikler bu şekilde azaltılabilir.

## Kaynaklar

- Phelps C.D. Glaucoma. General concepts. Duane's Clinical ophthalmology. Volume 3. Duane TD, Jaeger EA. Philadelphia: Harper&Row. 1986;42:1-8.
- Gordon MO, Beiser JA, Brandt JD, Heuer DK, Higginbotham EJ, Johnson CA, Keltner JL, Miller JP, Parrish RK 2nd, Wilson MR, Kass MA. The Ocular Hypertension Treatment Study: baseline factors that predict the onset of primary open-angle glaucoma. Arch Ophthalmol. 2002;120:714-20. [\[Abstract\]](#) / [\[Full Text\]](#)
- Sommer A, Katz J, Quigley HA, Miller NR, Robin AL, Richter RC, et al. Clinically detectable nerve fiber atrophy precedes the onset of glaucomatous field loss. Arch Ophthalmol. 1991;109:77-83. [\[Abstract\]](#) / [\[PDF\]](#)
- Christian Y Mardin, Folkert K Horn, Jost B Jonas, Wido M Budde. Preperimetric glaucoma diagnosis by confocal scanning laser tomography of the optic disc. Br J Ophthalmol 1999;83:299-304. [\[Abstract\]](#) / [\[Full Text\]](#) / [\[PDF\]](#)
- Bron AM, Creuzot-Garcher C, Goudeau-Boutillon S, d'Athis P. Falsely elevated intraocular pressure due to increased central corneal thickness. Graefes Arch Clin Exp Ophthalmol. 1999;237:220-4. [\[Abstract\]](#) / [\[PDF\]](#)
- Yıldırım R, Oral Y, Bahçecioğlu H. Santral kornea kalınlığı ve göz içi basıncı değerleri arasındaki ilişki. T Oft Gaz. 2000;30:319-23.
- Şen E, Yazıcı A, Altinok A, Aksakal N, Tuna T, Elgin U, et al. Glokom ve oküler hipertansiyonda merkezi kornea kalınlığı ve merkezi kornea kalınlığını etkileyen faktörler. Glokom-Katarakt. 2009;4:79-83. [\[Abstract\]](#) / [\[PDF\]](#)
- Wollstein G, Ishikawa H, Wang J, Beaton SA, Schuman JS. Comparison of three optical coherence tomography scanning areas for detection of glaucomatous damage. Am J Ophthalmol. 2005;139:39-43. [\[Abstract\]](#) / [\[Full Text\]](#) / [\[PDF\]](#)
- Medeiros FA, Zangwill LM, Bowd C, Vessani RM, Susanna R Jr, Weinreb RN. Evaluation of retinal nerve fiber layer, optic nerve head, and macular thickness measurements for glaucoma detection using optical coherence tomography. Am J Ophthalmol. 2005;139:44-55. [\[Abstract\]](#) / [\[Full Text\]](#) / [\[PDF\]](#)
- Henderson PA, Medeiros FA, Zangwill LM, Weinreb RN. Relationship between central corneal thickness and retinal nerve fiber layer thickness in ocular hypertensive patients. Ophthalmology. 2005;112:251-6. [\[Abstract\]](#) / [\[Full Text\]](#) / [\[PDF\]](#)
- Üğurbaş SH, Özcan ME, Erdoğan B, Alpay A. Glokomlu, oküler hipertansiyonlu ve normal gözlerde kornea kalınlığı ile retina sinir lifi ölçümlerinin karşılaştırılması. T Oft Gaz. 2008;38:122-7. [\[Abstract\]](#) / [\[Full Text\]](#) / [\[PDF\]](#)
- Kaushik S, Gyatsho J, Jain R, Pandav SS, Gupta A. Correlation between retinal nerve fiber layer thickness and central corneal thickness in patients with ocular hypertension: an optical coherence tomography study. Am J Ophthalmol. 2006;141:884-90. [\[Abstract\]](#) / [\[Full Text\]](#) / [\[PDF\]](#)
- Üstündağ C, Kızılıkaya M, Yetik H, Özdemir H, Ocakoğlu Ö, Devranoğlu K, et al. Normal, oküler hipertansiyonlu ve glokomlu gözlerde optik koherens tomografi ile saptanın retina sinir lifi kalınlıkları. T Oft Gaz. 2000;30:773-9.
- Mumcuoglu T, Townsend KA, Wollstein G, Ishikawa H, Bilonick RA, Sung KR, et al. Advanced Imaging in Glaucoma Study Group. Assessing the relationship between central corneal thickness and retinal nerve fiber layer thickness in healthy subjects. Am J Ophthalmol. 2008;146:561-6. [\[Abstract\]](#) / [\[Full Text\]](#) / [\[PDF\]](#)
- Lester M, Mermoud A. Retinal nerve fiber layer and physiological central corneal thickness. J Glaucoma. 2001;10:158-62. [\[Abstract\]](#)
- Medeiros FA, Sample PA, Weinreb RN. Corneal thickness measurements and frequency doubling technology perimetry abnormalities in ocular hypertensive eyes. Ophthalmology. 2003;110:1903-8. [\[Abstract\]](#) / [\[Full Text\]](#) / [\[PDF\]](#)